

1/7  
FELISS et al.  
HIT1P051/HSJ9-2003-0211US1 (RF)

+

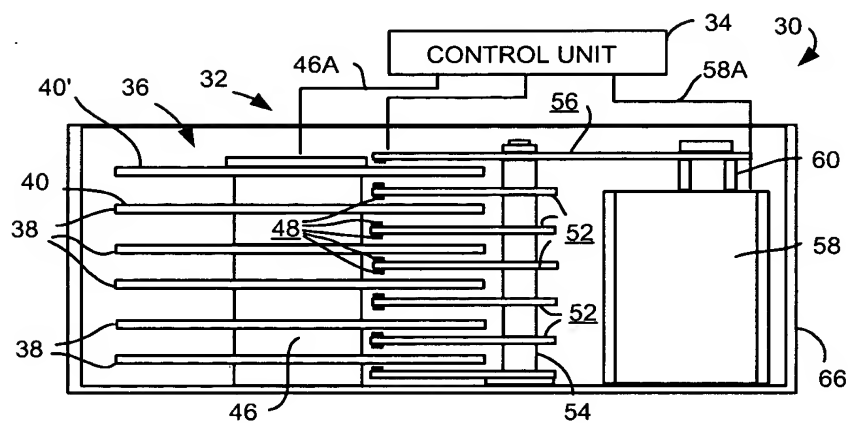


FIG. 1

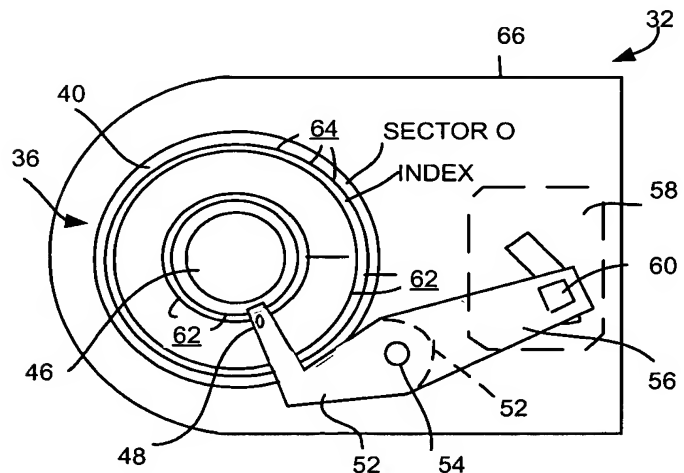


FIG. 2

+

+

2/7  
FELISS et al.  
HIT1P051/HSJ9-2003-0211US1 (RF)

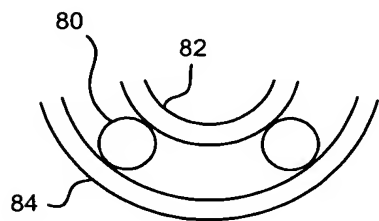


FIG. 3

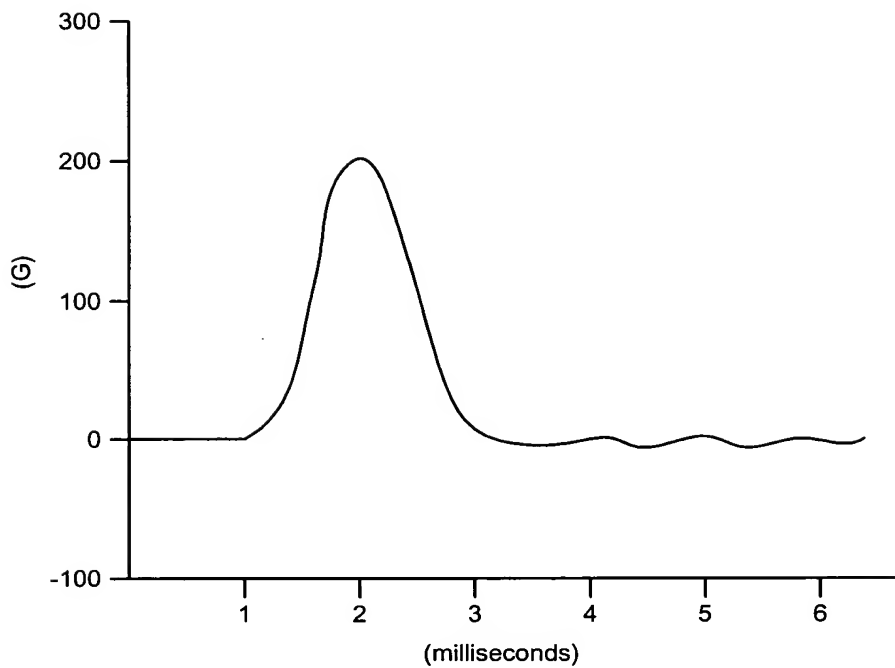


FIG. 4

+

3/7  
FELISS et al.  
HIT1P051/HSJ9-2003-0211US1 (RF)

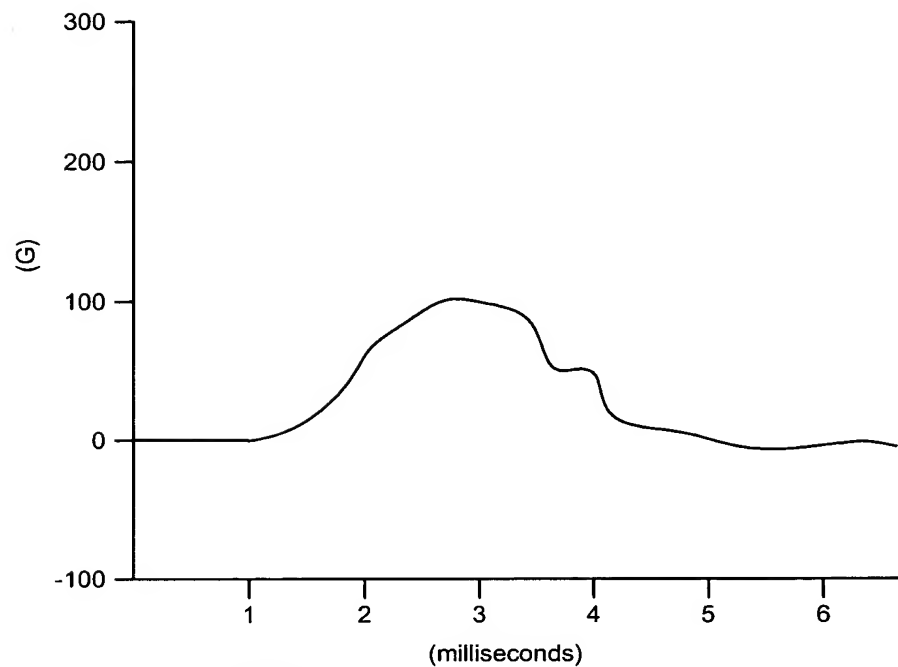


FIG. 5

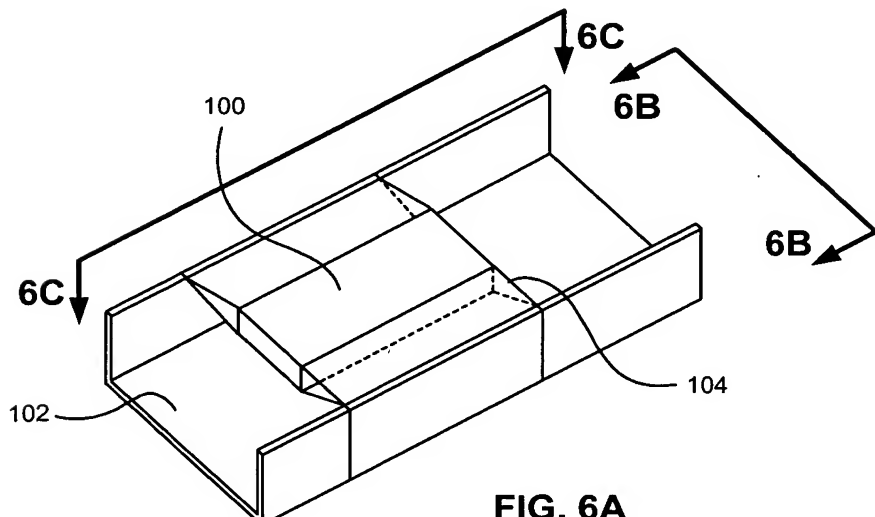


FIG. 6A

4/7  
FELISS t al.  
HIT1P051/HSJ9-2003-0211US1 (RF)

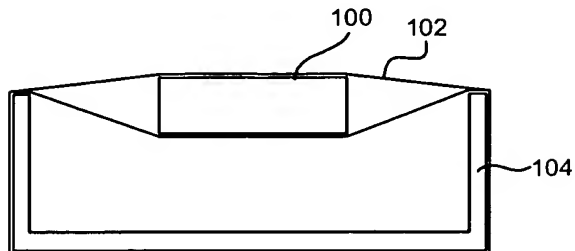


FIG. 6B

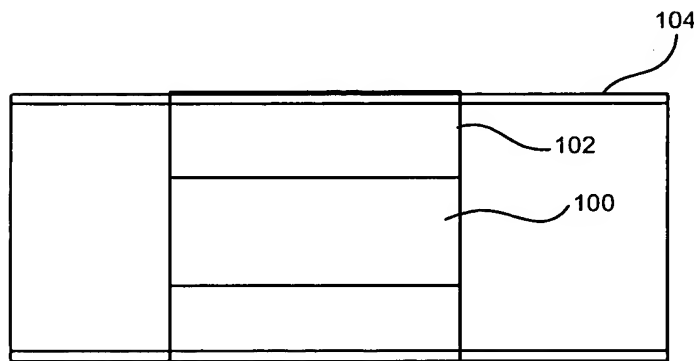


FIG. 6C

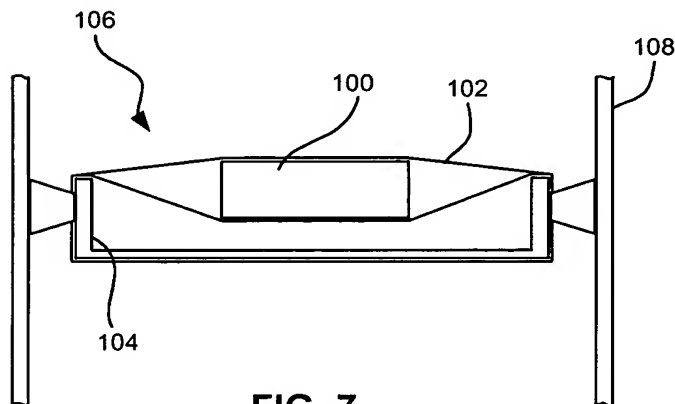
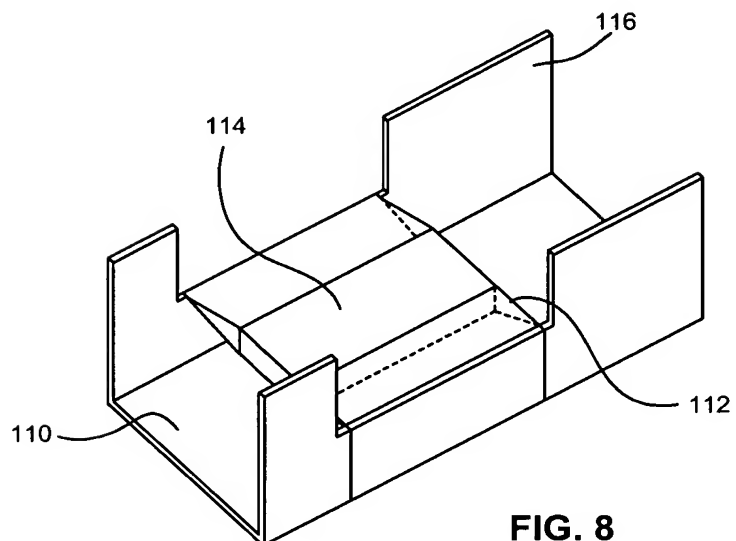
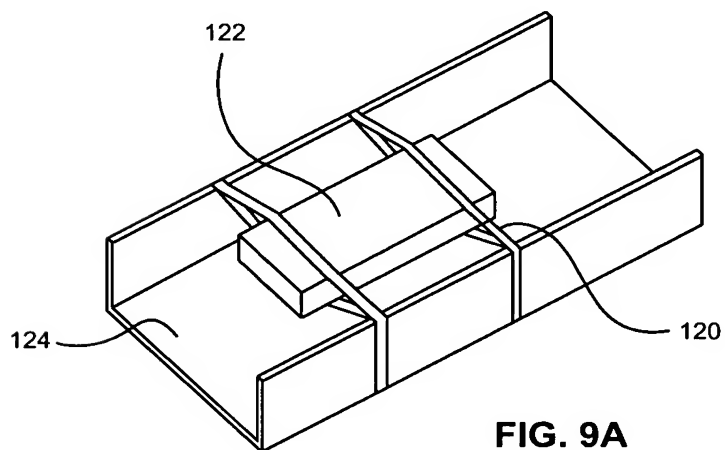


FIG. 7

5/7  
FELISS et al.  
HIT1P051/HSJ9-2003-0211US1 (RF)



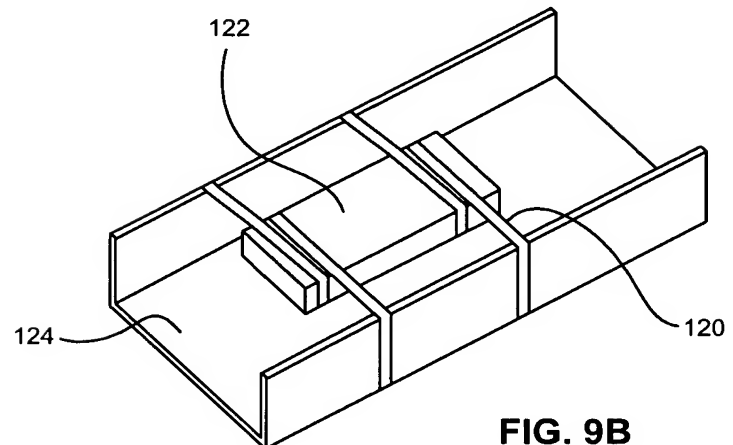
**FIG. 8**



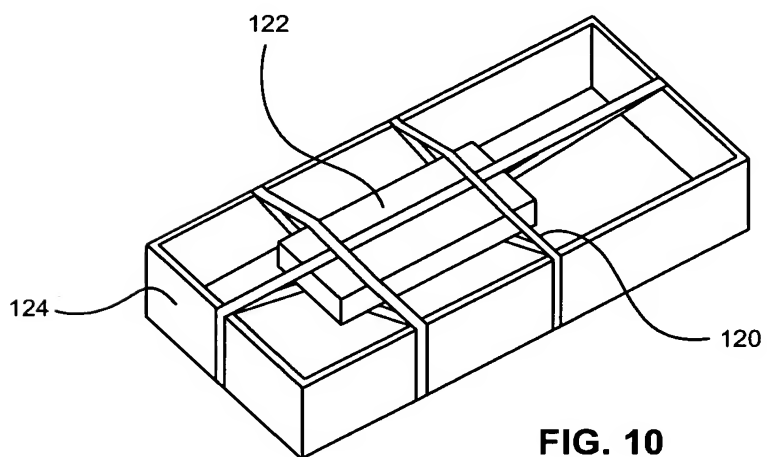
**FIG. 9A**



6/7  
FELISS t al.  
HIT1P051/HSJ9-2003-0211US1 (RF)



**FIG. 9B**

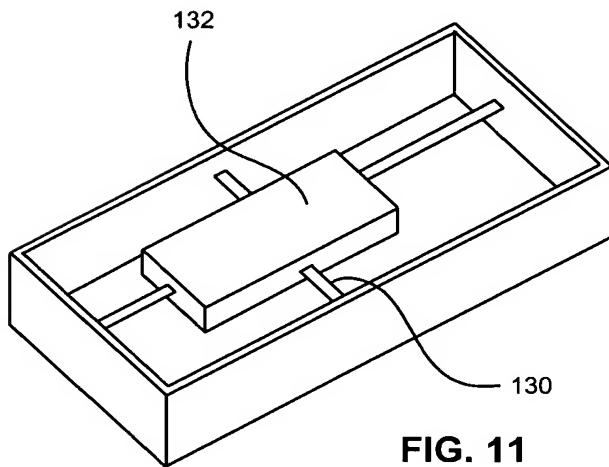


**FIG. 10**

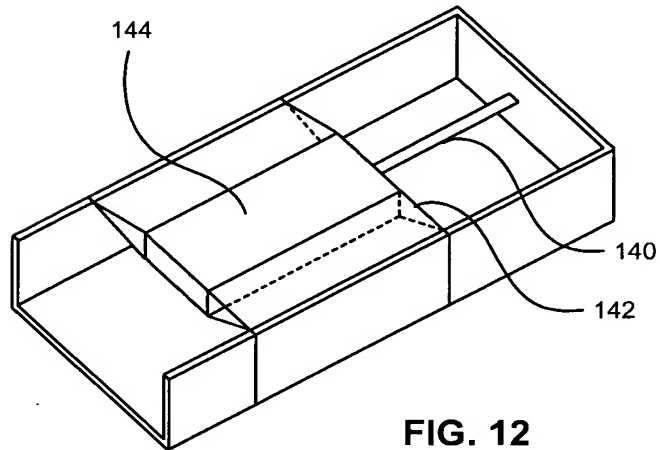


7/7  
FELISS et al.  
HIT1P051/HSJ9-2003-0211US1 (RF)

+



**FIG. 11**



**FIG. 12**

+